

САНКТ-ПЕТЕРБУРГСКИЙ ПОЛИТЕХНИЧЕСКИЙ УНИВЕРСИТЕТ
ПЕТРА ВЕЛИКОГО

ФИЗИКО-МЕХАНИЧЕСКИЙ ИНСТИТУТ
КАФЕДРА «ПРИКЛАДНАЯ МАТЕМАТИКА»

Отчёт
по лабораторной работе №2
по дисциплине
«Интервальный анализ»

Выполнил:
Анищенко Михаил Денисович
группа:
5030102/00201

Проверил:
к.ф.-м.н., доцент
Баженов Александр Николаевич

Санкт-Петербург
2023 г.

Содержание

1	Постановка задачи	2
2	Реализация	2
3	Результаты	2
3.1	ИСЛАУ	2
3.2	Достижение разрешимости	3
3.3	Достижение разрешимости за счет корректировки правой части	3
3.4	Достижение разрешимости за счет корректировки матрицы	4
4	Управление положением максимума распознающего функционала	6
5	Выводы	9

1 Постановка задачи

Пусть дана интервальная система линейных алгебраических уравнений (ИСЛАУ) (1)

$$\begin{cases} [0.5, 1.5] \cdot x_1 + [0.5, 2.5] \cdot x_2 = [1, 7] \\ x_1 + [-3, -1] \cdot x_2 = [-0.5, 0.5] \\ [0.9, 1.1] \cdot x_1 = [2.95, 3.45] \\ [0.9, 1.1] \cdot x_2 = [1.55, 2.05] \end{cases} \quad (1)$$

Необходимо найти и проиллюстрировать:

1. Максимум распознающего функционала
2. Достижение разрешимости ИСЛАУ за счет корректировки правой части
3. Достижение разрешимости ИСЛАУ за счет корректировки матрицы
4. Оценки вариабельности решения
5. Управление положением максимума распознающего функционала за счет полной корректировки матрицы ИСЛАУ
6. Управление положением максимума распознающего функционала за счет корректировки матрицы ИСЛАУ построчно

2 Реализация

Для решения данной задачи была написана программа на языке Python версии 3.11.4. Дополнительно была использована библиотека Intvalpy 1.5.8.

3 Результаты

3.1 ИСЛАУ

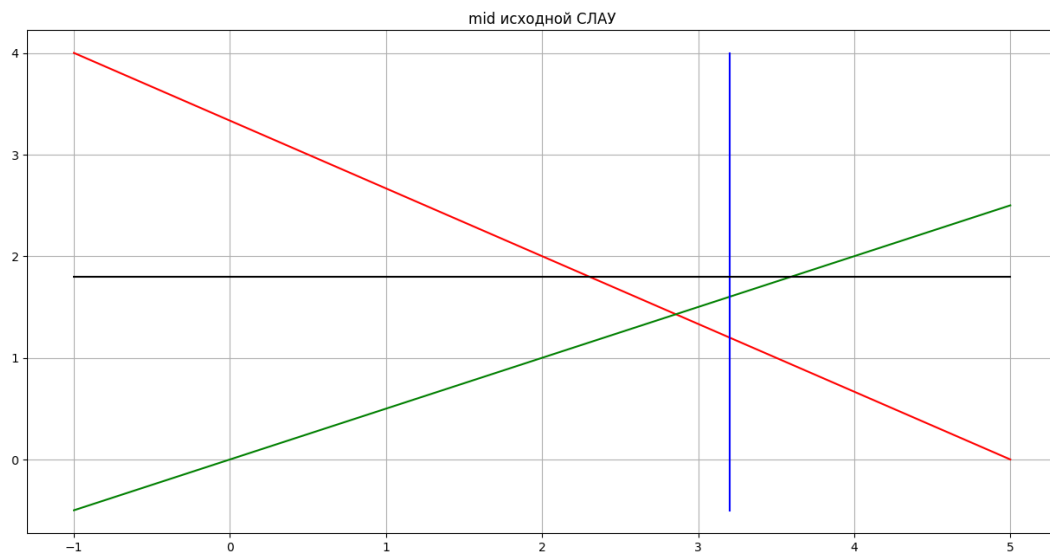


Рис. 1: mid исходной ИСЛАУ

3.2 Достижение разрешимости

Исходная рассматриваемая ИСЛАУ имеет пустое допустимое множество: $\max \text{Tol} = -0.90$, $\arg\max \text{Tol} = (2.80, 1.40)$.

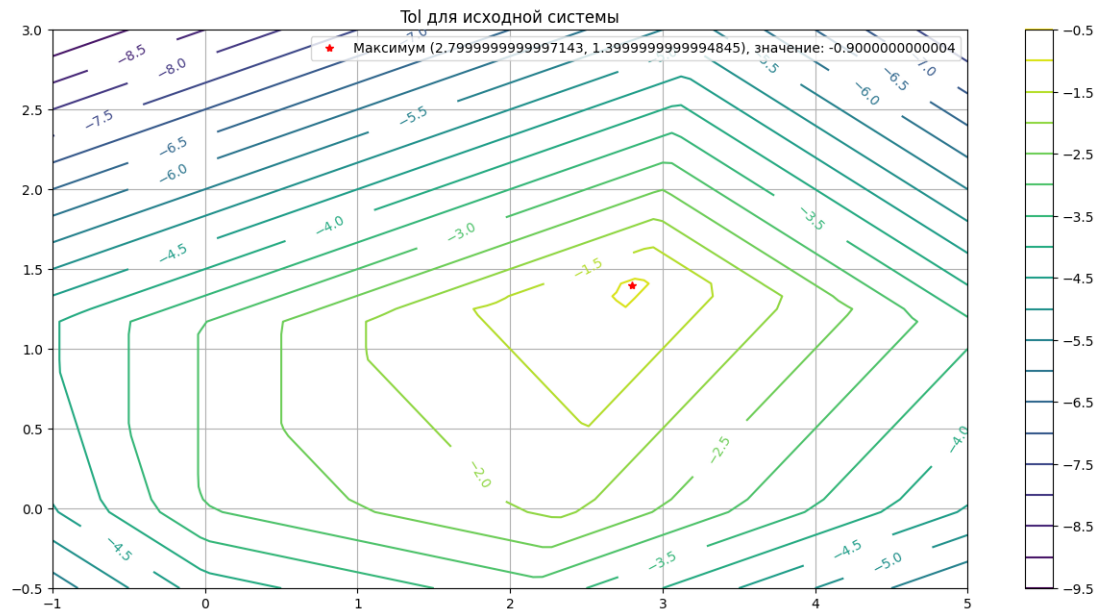


Рис. 2: Tol для исходной системы

3.3 Достижение разрешимости за счет корректировки правой части

Добавим к каждой компоненте правой части величину $K \cdot \nu_i \cdot [-1, 1]$, где i – номер компоненты, ν_i – вес, задающий расширение компоненты, K – общий коэффициент этого расширения. Будем использовать $\nu_i = 1 \forall i$, чтобы компоненты расширялись одинаково. Подберем K так, чтобы $K + \max_{x \in R^n} \text{Tol} \geq 0$. Подбрав такое K , получим непустое допусковое множество.

Используя вышеописанный способ корректировки, получаем следующие результаты: $\max \text{Tol} = 0.45$, $\arg\max \text{Tol} = (2.80, 1.40)$. Множество решений стало непустым, правая часть приняла вид $b' = [1.65, 8.35]$, Допусковое множество перестало быть пустым, $\text{ive}(A, b') = 0.25$, $\text{rve}(A, b') = 0.49$. На графике ниже представлены брусы с центром в точке $\arg\max \text{Tol}$ и радиусами ive , rve .

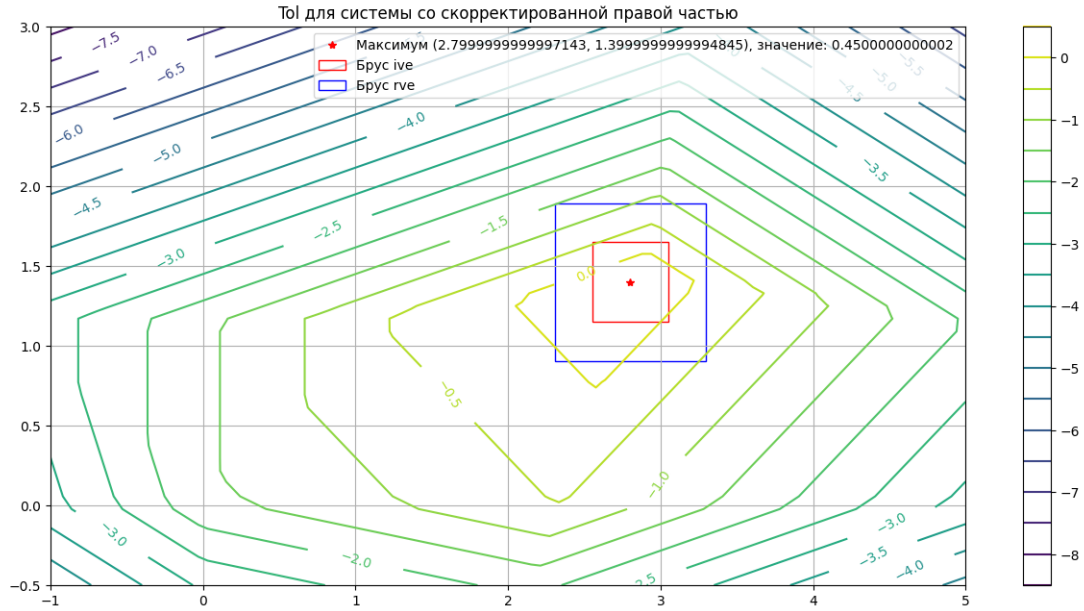


Рис. 3: Tol для системы с корректировкой правой части

3.4 Достижение разрешимости за счет корректировки матрицы

Корректировка левой части происходит по следующей схеме. Заменяем исходную матрицу A на $A \ominus K \cdot N \cdot E$, где K – общий коэффициент сужения матрицы A , $N = \{\nu_{ij}\}$ – матрица весов, E состоит из $[-e_{ij}, e_{ij}]$. При этом необходимо следить, чтобы мы все время оставались в пределах.

Для полной корректировки матрицы рекомендуется брать единичную матрицу N , а для построчной – $N = \{\nu_i\}$.

Возьмем следующую матрицу E :

$$E = \begin{pmatrix} 0.3 & 0.6 \\ 0 & 0.6 \\ 0.06 & 0 \\ 0 & 0.06 \end{pmatrix} \quad (2)$$

Тогда получим непустое множество решений, $\max \text{Tol} = 0.10$, $\arg\max \text{Tol} = (3.29, 1.68)$.

$$A' = \begin{pmatrix} [0.905, 1.095] & [1.31, 1.69] \\ 1 & [-2.19, -1.81] \\ [0.981, 1.019] & 0 \\ 0 & [0.981, 1.019] \end{pmatrix} \quad (3)$$



Рис. 4: Tol для системы с полной корректировкой левой части

Допусковое множество перестало быть пустым, $\text{ive}(A, b') = 0.09$, $\text{rve}(A, b') = 0.15$. На Рис. 4 представлены брусы с центром в точке argmaxTol и радиусами ive , rve .

4 Управление положением максимума распознающего функционала

Объединим графики для распознающего функционала и уравнений, образующих средние значения интервалов в системе.

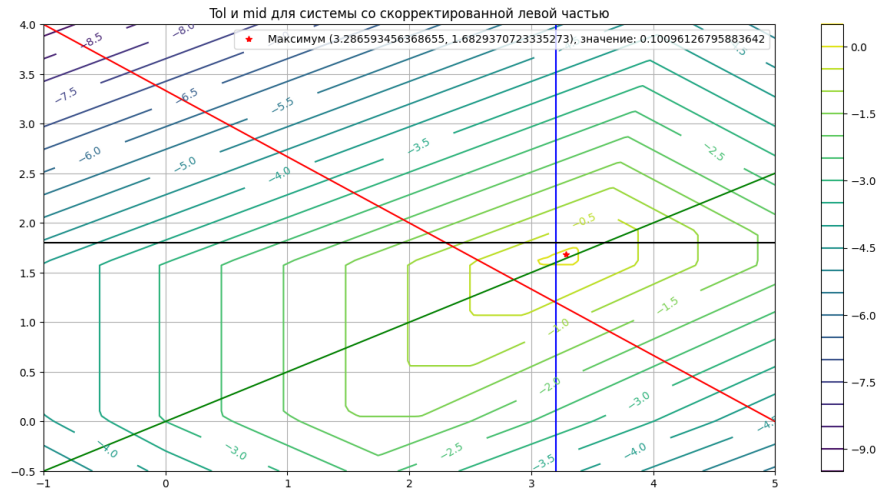


Рис. 5: Tol и mid для системы с корректировкой левой части

Теперь будем производить построчную корректировку матрицы.
Результат корректировки первой строки:

$$A = \begin{pmatrix} 1 & 1.5 \\ 1 & [-3, -1] \\ [0.9, 1.1] & 0 \\ 0 & [0.9, 1.1] \end{pmatrix} \quad (4)$$

$$\max \text{Tol} = -0.73, \arg\max \text{Tol} = (2.46, 1.23)$$

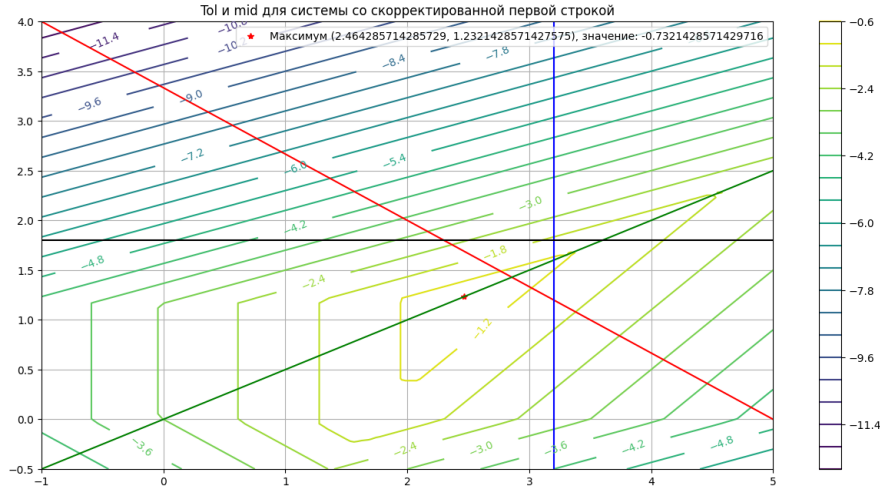


Рис. 6: Tol и mid для системы с корректировкой первой строки матрицы

Результат корректировки второй строки:

$$A = \begin{pmatrix} [0.5, 1.5] & [0.5, 2.5] \\ 1 & -2 \\ [0.9, 1.1] & 0 \\ 0 & [0.9, 1.1] \end{pmatrix} \quad (5)$$

$\max \text{Tol} = -0.77$, $\arg\max \text{Tol} = (3.40, 1.07)$

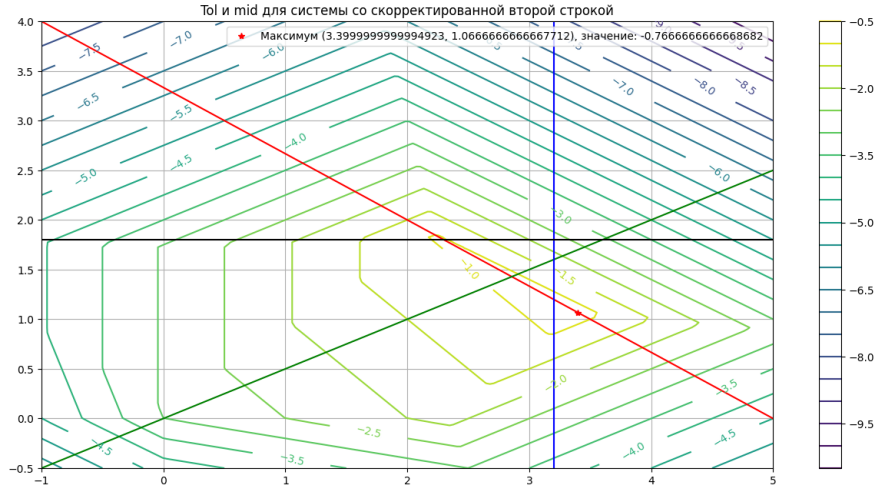


Рис. 7: Tol и mid для системы с корректировкой второй строки матрицы

Результат корректировки третьей строки:

$$A = \begin{pmatrix} [0.5, 1.5] & [0.5, 2.5] \\ 1 & [-3, -1] \\ 1 & 0 \\ 0 & [0.9, 1.1] \end{pmatrix} \quad (6)$$

$$\max \text{Tol} = -0.73, \arg\max \text{Tol} = (2.80, 1.40)$$

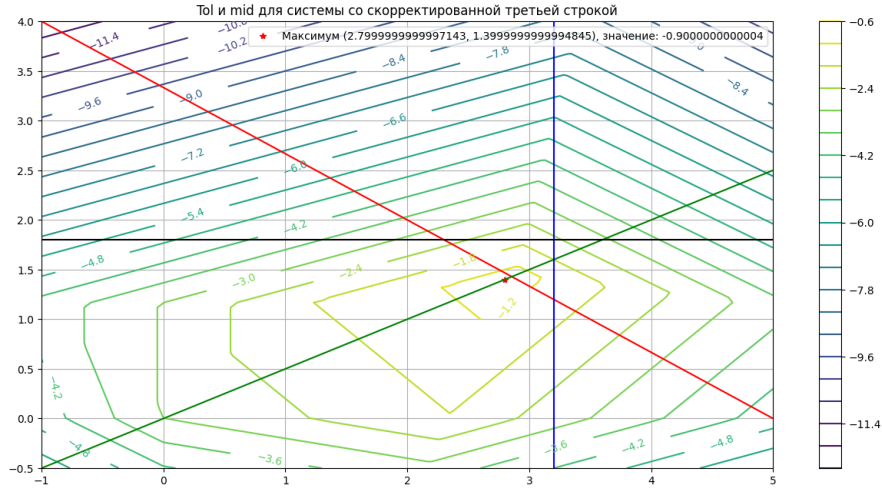


Рис. 8: Tol и mid для системы с корректировкой третьей строки матрицы

Результат корректировки четвёртой строки:

$$A = \begin{pmatrix} [0.5, 1.5] & [0.5, 2.5] \\ 1 & [-3, -1] \\ [0.9, 1.1] & 0 \\ 0 & 1 \end{pmatrix} \quad (7)$$

$$\max \text{Tol} = -0.90, \arg\max \text{Tol} = (2.80, 1.40)$$

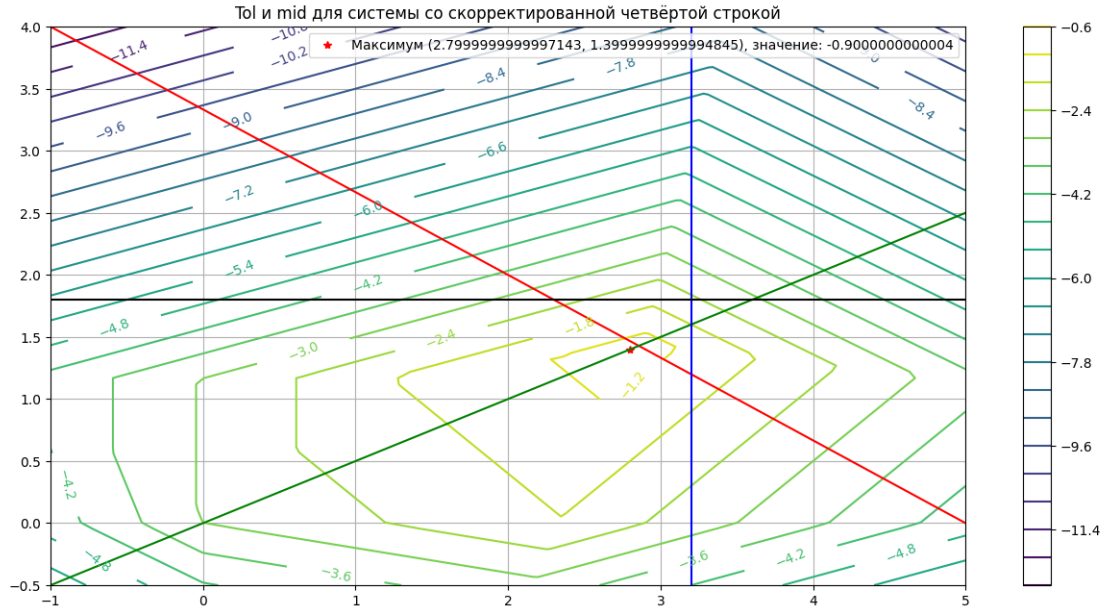


Рис. 9: Tol и mid для системы с корректировкой четвёртой строки матрицы

5 Выводы

- Когда матрица ИСЛАУ корректируется, оценки вариабельности становятся меньше. Тем не менее, брусы, соответствующие этим оценкам, все еще хорошо оценивают допусковое множество итоговой ИСЛАУ.
- Корректировка правой части ИСЛАУ приводит к увеличению значения максимума распознающего функционала.
- Когда первая и вторая строки матрицы корректируются, максимум распознающего функционала находится на прямых, соответствующих mid второй и первой строк соответственно.
- Когда третья и четвёртая строки матрицы корректируются, argmaxTol совпадает.
- Когда первая и третья строки корректируются, max Tol совпадает.
- Корректировка матрицы ИСЛАУ приводит к изменению формы распознающего функционала при всех рассмотренных преобразованиях.